

課題

MRxx.csv (MRxx.xlsx) のデータ (磁場 B - 抵抗率 ρ) について、

$$\rho(B) = \rho_0 + aB^2$$

を仮定し、定数 ρ_0 と a を求めよ。マニュアルフィッティングしてもよいし、pythonプログラム lsq1.py や csvplot.csv などを参考に線形最少二乗法などで求めてもよい。

参考:

<http://conf.msl.titech.ac.jp/Lecture/>

- 計算材料学特論 資料

PowerPoint 等のプレゼンテーションファイルにして提出

期限: 今日の17:00までに
できたところまでで可

最少二乗のパターン

- Excelでマニュアルフィッティング
- Excelのソルバーでフィッティング
うまくいかなかった => 初期値の設定
- pythonで一次多項式 $f(x^2) = a + b(x^2)$ で線形最少二乗
- pythonのライブラリを使ってフィッティング
- gnuplotの関数フィッティング

解答

線形最小二乗法: 収束誤差はない

- $\rho(B) = c_0 + c_1x + c_2B^2$ に対して線形最小二乗を使う

$$\rho(B) = 0.003077578181 + 1.16241 \times 10^{-9} B + 3.519853 \times 10^{-7} B^2$$

- $\rho(B) = c_0 + c_1B^2$ に対して線形最小二乗法を使う

$$\rho(B) = 0.003077578505 + 3.5196527 \times 10^{-7} B^2$$

- python の `numpy.polyfit()` を使う

非線形最小二乗法: 初期値依存、収束誤差

- Excelで関数 $y = ax^2 + b$ によるフィッティング

- python の `scipy.optimize.curve_fit()` を使う

初期値を与えない場合は、1.0 を初期値とする

$$\rho(B) = 0.003078 + 3.520 \times 10^{-7} B^2$$

- gnuplot の 関数フィッティング

$$\rho(B) = 0.00307758 + 3.51965 \times 10^{-7} B^2$$

マニュアルフィッティング: 人間依存、誤差不明

$$\rho(B) = 0.0030775 + 3.5 \times 10^{-7} B^2$$

Hall効果

太田英二、坂田亮著、半導体の電子物性光学、培風館 (2005)

Hall効果測定の場合 $J_y = 0$ ($\mu = \frac{e\tau}{m_e^*}$) より

$$en\mu \begin{pmatrix} \frac{1}{1+\mu^2 B_z^2} & \frac{\mu B_z}{1+\mu^2 B_z^2} \\ -\frac{\mu B_z}{1+\mu^2 B_z^2} & \frac{1}{1+\mu^2 B_z^2} \end{pmatrix} \begin{pmatrix} E_x \\ E_y \end{pmatrix} = \frac{\sigma_0}{1+\mu^2 B_z^2} \begin{pmatrix} 1 & \mu B_z \\ -\mu B_z & 1 \end{pmatrix} \begin{pmatrix} E_x \\ E_y \end{pmatrix} = \begin{pmatrix} J_x \\ J_y \end{pmatrix}$$

$$E_x = \frac{1}{\sigma_0} \frac{J_x \sigma_{xx}}{\sigma_{xx} \sigma_{yy} - \sigma_{yx} \sigma_{yx}} = \frac{1}{\sigma_0} J_x$$

$$E_y = -\frac{1}{\sigma_0} \frac{J_x \sigma_{yz}}{\sigma_{xx} \sigma_{yy} - \sigma_{yx} \sigma_{yx}} = \frac{1}{\sigma_0} \mu B_z J_x = \frac{1}{en} B_z J_x = R_H B_z J_x$$

$$R_H = -\frac{E_y}{B_z J_x} = -\frac{V_H W d}{W I_x B_z} \frac{1}{B_z} = -\frac{V_H d}{I_x B_z} = -\frac{1}{en} \text{ (for electron)}$$

Hall effect: Two-carrier model

太田英二、坂田亮著、半導体の電子物性光学、培風館 (2005)

$$\text{Current } \mathbf{J} = -e\langle \mathbf{v} \rangle = \frac{e^2 n \tau}{m_e^*} \begin{pmatrix} \frac{1}{1 + \left(\frac{e\tau}{m_e^*}\right)^2 B_z^2} & \frac{\left(\frac{e\tau}{m_e^*}\right) B_z}{1 + \left(\frac{e\tau}{m_e^*}\right)^2 B_z^2} & 0 \\ -\frac{\left(\frac{e\tau}{m_e^*}\right) B_z}{1 + \left(\frac{e\tau}{m_e^*}\right)^2 B_z^2} & \frac{1}{1 + \left(\frac{e\tau}{m_e^*}\right)^2 B_z^2} & 0 \\ 0 & 0 & 1 \end{pmatrix} \begin{pmatrix} E_x \\ E_y \\ E_z \end{pmatrix}$$

Two carrier model

$$\mathbf{J} = \mathbf{J}_e + \mathbf{J}_h = (\sigma_e + \sigma_h) \mathbf{E} + (-\sigma_e \mu_e + \sigma_h \mu_h) \mathbf{E} \times \mathbf{B}$$

$$\rho_{xx}(B) = \frac{1}{e} \frac{(n_h \mu_h + n_e \mu_e) + (n_h \mu_h + n_e \mu_e) \mu_h \mu_e B^2}{(n_h \mu_h + n_e \mu_e)^2 + (n_h - n_e)^2 \mu_h^2 \mu_e^2 B^2}$$

$$\rho_{yx}(B) = B \frac{1}{e} \frac{(n_h \mu_h^2 - n_e \mu_e^2) + (n_h - n_e) \mu_h^2 \mu_e^2 B^2}{(n_h \mu_h + n_e \mu_e)^2 + (n_h - n_e)^2 \mu_h^2 \mu_e^2 B^2}$$

Hall effect: Two-carrier model with $n_e \sim n_h$

太田英二、坂田亮著、半導体の電子物性光学、培風館 (2005)

Two carrier model

$$\rho_{xx}(B) = \frac{1}{e} \frac{(n_h \mu_h + n_e \mu_e) + (n_h \mu_h + n_e \mu_e) \mu_h \mu_e B^2}{(n_h \mu_h + n_e \mu_e)^2 + (n_h - n_e)^2 \mu_h^2 \mu_e^2 B^2}$$

$$\rho_{yx}(B) = B \frac{1}{e} \frac{(n_h \mu_h^2 - n_e \mu_e^2) + (n_h - n_e) \mu_h^2 \mu_e^2 B^2}{(n_h \mu_h + n_e \mu_e)^2 + (n_h - n_e)^2 \mu_h^2 \mu_e^2 B^2}$$

$$n_e \sim n_h \sim n$$

$$\rho_{xx}(B) = \frac{1}{en} \frac{1 + \mu_h \mu_e B^2}{\mu_h + \mu_e}$$

$$\rho_{yx}(B) = B \frac{1}{en} \frac{\mu_h - \mu_e}{\mu_h + \mu_e}$$

Hall effect: Two-carrier model with $\mu_h \sim \mu_e$

太田英二、坂田亮著、半導体の電子物性光学、培風館 (2005)

Two carrier model

$$\rho_{xx}(B) = \frac{1}{e} \frac{(n_h \mu_h + n_e \mu_e) + (n_h \mu_h + n_e \mu_e) \mu_h \mu_e B^2}{(n_h \mu_h + n_e \mu_e)^2 + (n_h - n_e)^2 \mu_h^2 \mu_e^2 B^2}$$

$$\rho_{yx}(B) = B \frac{1}{e} \frac{(n_h \mu_h^2 - n_e \mu_e^2) + (n_h - n_e) \mu_h^2 \mu_e^2 B^2}{(n_h \mu_h + n_e \mu_e)^2 + (n_h - n_e)^2 \mu_h^2 \mu_e^2 B^2}$$

$\mu_h \sim \mu_e \sim \mu$

$$\begin{aligned} \rho_{xx}(B) &= \frac{1}{e \mu (n_h + n_e)} \frac{1 + \mu^2 B^2}{1 + (n_h - n_e)^2 / (n_h + n_e)^2 \mu^2 B^2} \\ &\sim \rho_0 (1 + \mu^2 B^2 - (n_h - n_e)^2 / (n_h + n_e)^2 \mu^2 B^2) \\ &\sim \rho_0 (1 + \mu^2 B^2) \end{aligned}$$

$$\rho_{yx}(B) = B \frac{1}{e (n_h + n_e)} \frac{1 + \mu^2 B^2}{1 + (n_h - n_e)^2 / (n_h + n_e)^2 \mu^2 B^2} \sim B \frac{1}{e (n_h + n_e)}$$

移動度の計算

$$\rho(B) = \rho_0 \left(1 + \frac{a}{\rho_0} B^2 \right) = \rho_0 \left(1 + \left(\frac{e\tau}{m_e^*} \right)^2 B^2 \right)$$

$$\rho(B) = 0.00308 + 3.52 \times 10^{-7} B^2 = 0.00308(1.0 + 0.107^2 B^2) \quad (\text{単位はMKS})$$

$$\text{※ } \mu = \frac{e\tau}{m_e^*} \sqrt{\frac{a}{\rho_0}} = 0.0107 \text{ m}^2/(\text{Vs}) = 107 \text{ cm}^2/(\text{Vs})$$

自作の多項式線形最小二乗法: mlsq()

```
def mlsq(x, y, m, *, iPrint = 0):
    n = len(x)
    # 配列をnp.ndarrayで宣言
    # Siは一次元ベクトルだが、numpyの
    # 行列演算のために2次元配列で宣言
    Si = np.empty([m+1, 1])
    Sij = np.empty([m+1, m+1])

    for l in range(0, m+1):
        #  $S_i[l] = \sum y_i x_i^l$ 
        v = 0.0
        for i in range(0, n):
            v += y[i] * pow(x[i], l)
        Si[l, 0] = v

    for j in range(0, m+1):
        for l in range(j, m+1):
            #  $S_{ij}[j, l] = \sum x_i^{j+l}$ 
            v = 0.0
            for i in range(0, n):
                v += pow(x[i], j+l)
            Sij[j, l] = Sij[l, j] = v
```

```
# デバッグのため、Si, Sijを出力する
# オプションを用意
if iPrint == 1:
    print("Vector and Matrix:")
    print("Si=")
    pprint(Si)
    print("Sij=")
    pprint(Sij)
    print("")
```

```
# LAPACKのpythonライブラリ linalgを使う
# ここでは .inv() 逆行列を求めているが、
#  $c_i = np.linalg.solve(S_{ij}, S_i)$ 
# で一次連立方程式を直接解く方がいい

    ci = np.linalg.inv(Sij) @ Si
    # ci は 二次元のndarray()で返ってくる
    # .transpose() で転置行列を取ったのち、
    # .tolist() でリスト型に変換
    ci = ci.transpose().tolist()
    # ci は  $1 \times (m+1)$  の二次元のリストに
    # なっているので、ci[0]を取り出して
    # 一次元リストを返す
    return ci[0]
```

CSVファイルの構造

CSV: Comma Separated Values

- ・ 一行に複数のテキストデータを“,”で区切って並べたテキストファイル
一行ごとに文字列変数に読み込み、文字列型の `.split(“,”)` メソッドで分割
- ・ データ内に“,”がある場合は、テキストデータを“”でくる
- ・ データ内に“”がある場合のフォーマットは複数
複雑な正規表現か専用の関数を使う必要

* すべてのCSVファイルに対応するのは意外と大変

=> csv モジュールを使う

- ・ 読み込んだテキストデータを浮動小数点に変換
- ・ 数値データが浮動小数点に変換できない場合に対応する

Fortran形式の倍精度実数 `5.0D+5`

余計なセルがあるExcelファイルを CSV に変換 (非数値文字列)

余計な空行があるExcelファイルを CSV に変換 (空文字列)

Unicode以外のCSVファイル

CSVファイルの読み込み

```
import csv
```

```
# csv モジュール読み込み
```

```
def read_csv(fname):
```

```
    x = []
```

```
    y = []
```

```
    with open(fname) as f:
```

```
        fin = csv.reader(f)
```

```
        xlabel, ylabel, = next(fin)
```

```
        for row in fin:
```

```
            try:
```

```
                x.append(float(row[0]))
```

```
                y.append(float(row[1]))
```

```
            except:
```

```
                print("Warning: Invalid float data [{}] or [{}]" .format(row[0], row[1]))
```

```
    return x, y
```

```
x, y = read_csv(infile)
```

```
# ファイル fname を読み込みモードで開く
```

```
# csvクラスの readerオブジェクトを取得
```

```
# 最初の1行はラベルなので、next()関数で読み込む
```

```
# 残りの数値データを読みこむ
```

```
# float() で浮動小数点型に変換してリストに追加
```

```
# 数値データが浮動小数点に変換できなかつたら
```

```
# Warningを出す、プログラムは停止しない
```

```
# 該当する行のデータは捨てる
```

LSQ: General functions

線形最小二乗法: 一般関数の場合

$$f(x) = \sum_{k=1}^n a_k f_k(x) \quad S = \sum_{i=1}^N \left(y_i - \sum_{k=1}^n a_k f_k(x_i) \right)^2$$
$$\frac{dS}{da_l} = -2 \sum_{i=1}^N f_l(x_i) \left(y_i - \sum_{k=1}^n a_k f_k(x_i) \right) = 0$$

$$\begin{pmatrix} \sum f_1(x_i)f_1(x_i) & \sum f_1(x_i)f_2(x_i) & \sum f_1(x_i)f_3(x_i) & \cdots & \sum f_1(x_i)f_N(x_i) \\ \sum f_2(x_i)f_1(x_i) & \sum f_2(x_i)f_2(x_i) & \sum f_2(x_i)f_3(x_i) & & \sum f_2(x_i)f_N(x_i) \\ \sum f_3(x_i)f_1(x_i) & \sum f_3(x_i)f_2(x_i) & \sum f_3(x_i)f_3(x_i) & & \sum f_3(x_i)f_N(x_i) \\ \vdots & & & \ddots & \vdots \\ \sum f_N(x_i)f_1(x_i) & \sum f_N(x_i)f_2(x_i) & \sum f_N(x_i)f_3(x_i) & & \sum f_N(x_i)f_N(x_i) \end{pmatrix} \begin{pmatrix} a_1 \\ a_2 \\ a_3 \\ \vdots \\ a_N \end{pmatrix} = \begin{pmatrix} \sum y_i f_1(x_i) \\ \sum y_i f_2(x_i) \\ \sum y_i f_3(x_i) \\ \vdots \\ \sum y_i f_N(x_i) \end{pmatrix}$$

**If $f(x)$ is linear with respect to fitting parameters,
final solution is obtained by one matrix operation**

係数に関して線形であれば、1度の行列計算で最終解が得られる

ex. $f(x) = a + b \log x + c/x$

$$f(x, y) = a + bxy + cy/x$$

関数の解: Newton-Raphson法 (Newton法)

$f(x) = 0$ の解を求める

$$f(x_0 + dx) = f(x_0) + dx f'(x_0) \sim 0$$

$$\Rightarrow x_1 = x_0 + dx = x_0 - f(x_0) / f'(x_0)$$

計算では $f'(x_0)$ を差分計算で置き換えられる

割線法 (セカント法、はさみうち法):

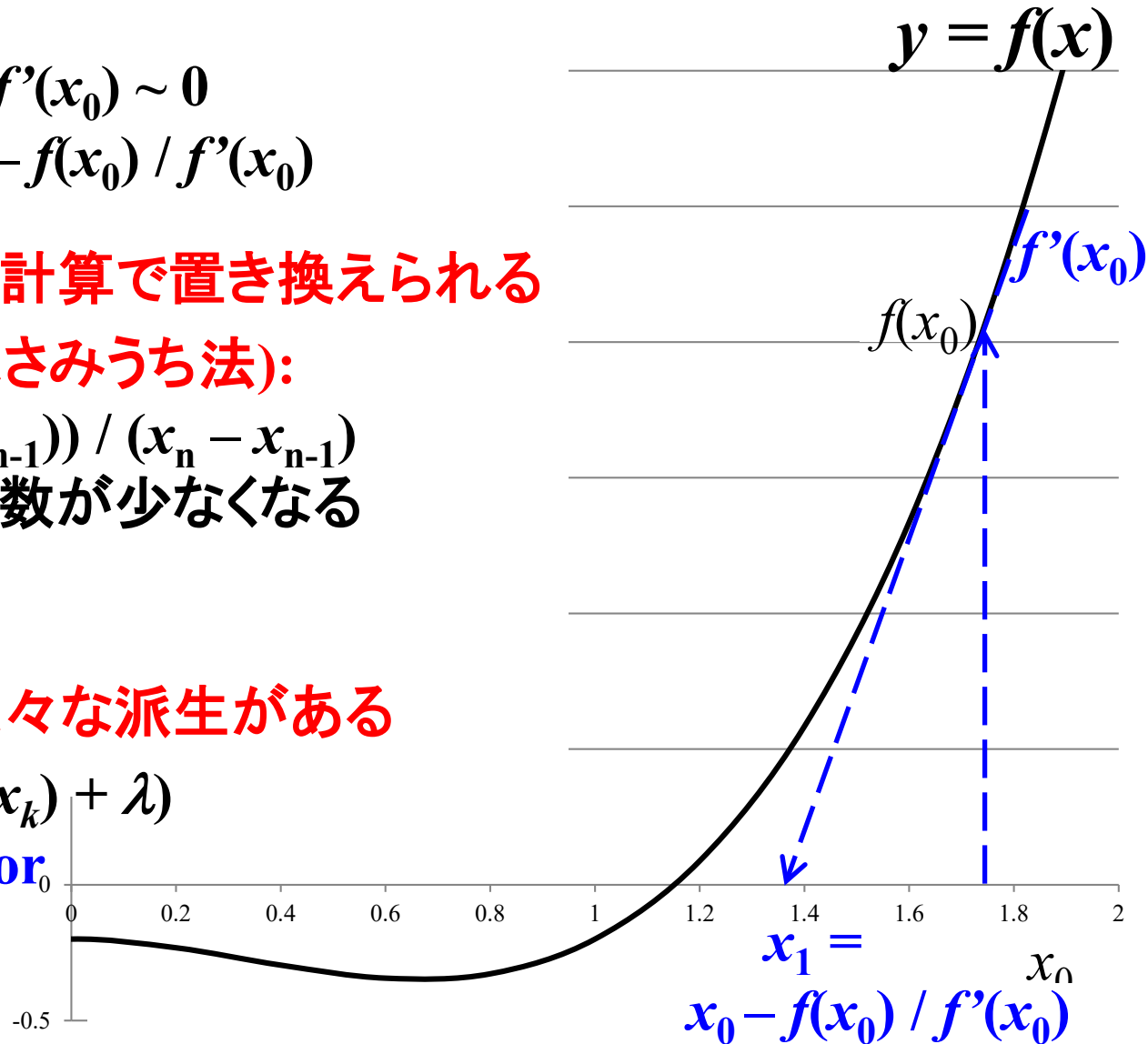
$$f'(x) = (f(x_n) - f(x_{n-1})) / (x_n - x_{n-1})$$

を使う。 $f(x)$ の計算回数が少なくなる

発散を抑える工夫で様々な派生がある

$$x_{k+1} = x_k - f(x_k) / (f'(x_k) + \lambda)$$

λ : Dumping Factor

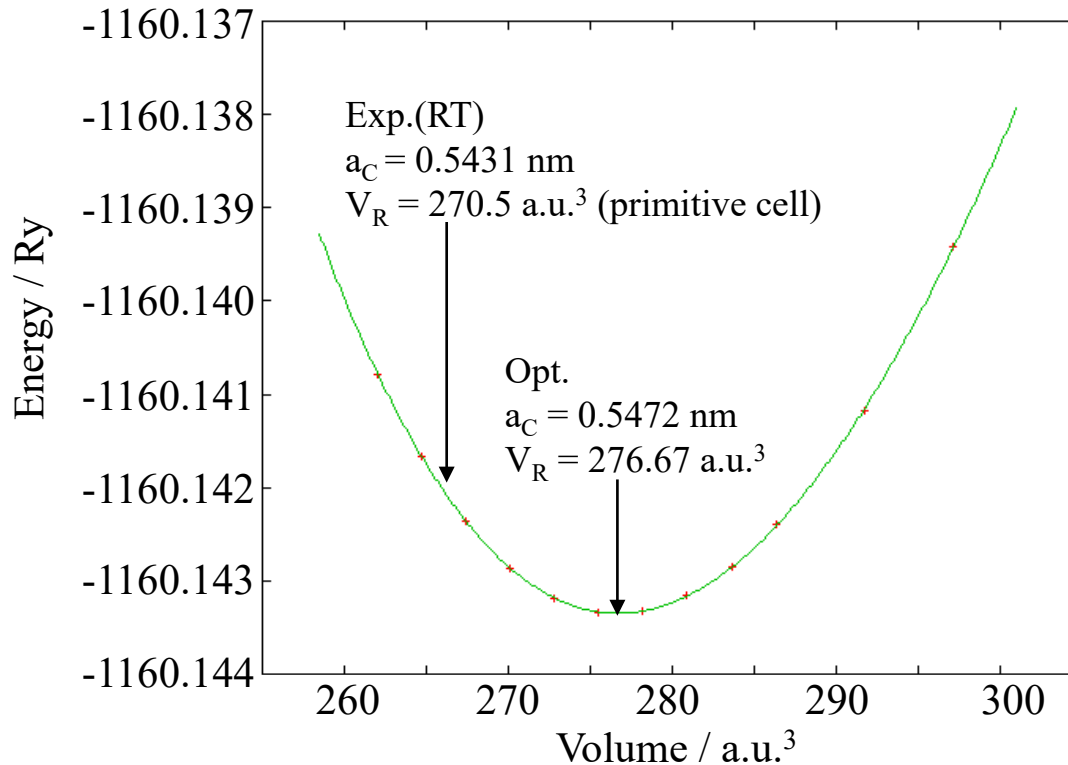


NL optimization of crystal structure:

Illustrative approach

安定構造: 図解による解法

Calculate total energy by quantum calculations by varying a lattice parameter
ex. Si

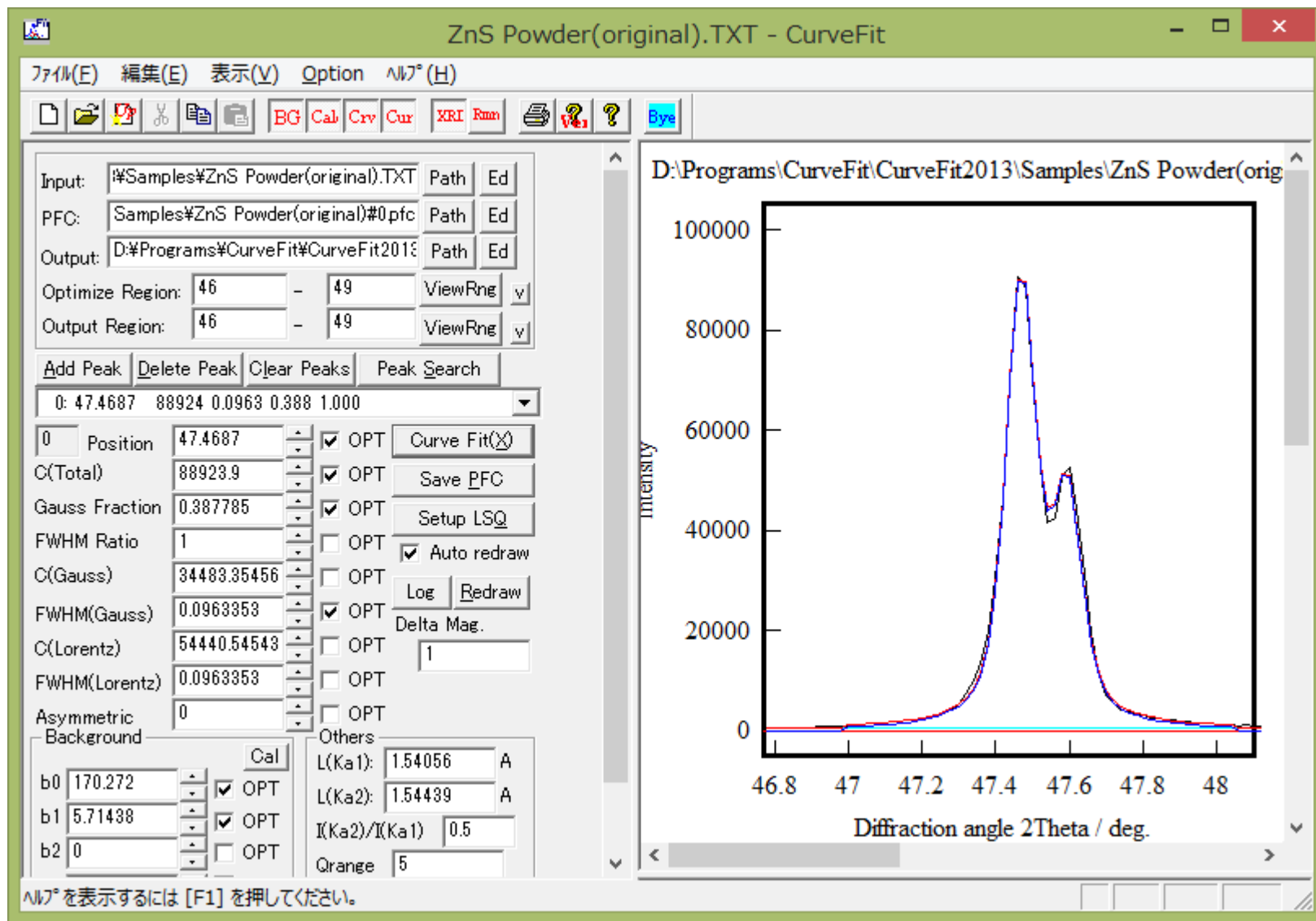


$$E = E_{\min} + 1/2 B_0 (V / V_0)^2$$

$$B_0 \text{ (GPa)} = 87.57 \text{ GPa (exp: 97.88 GPa)}$$

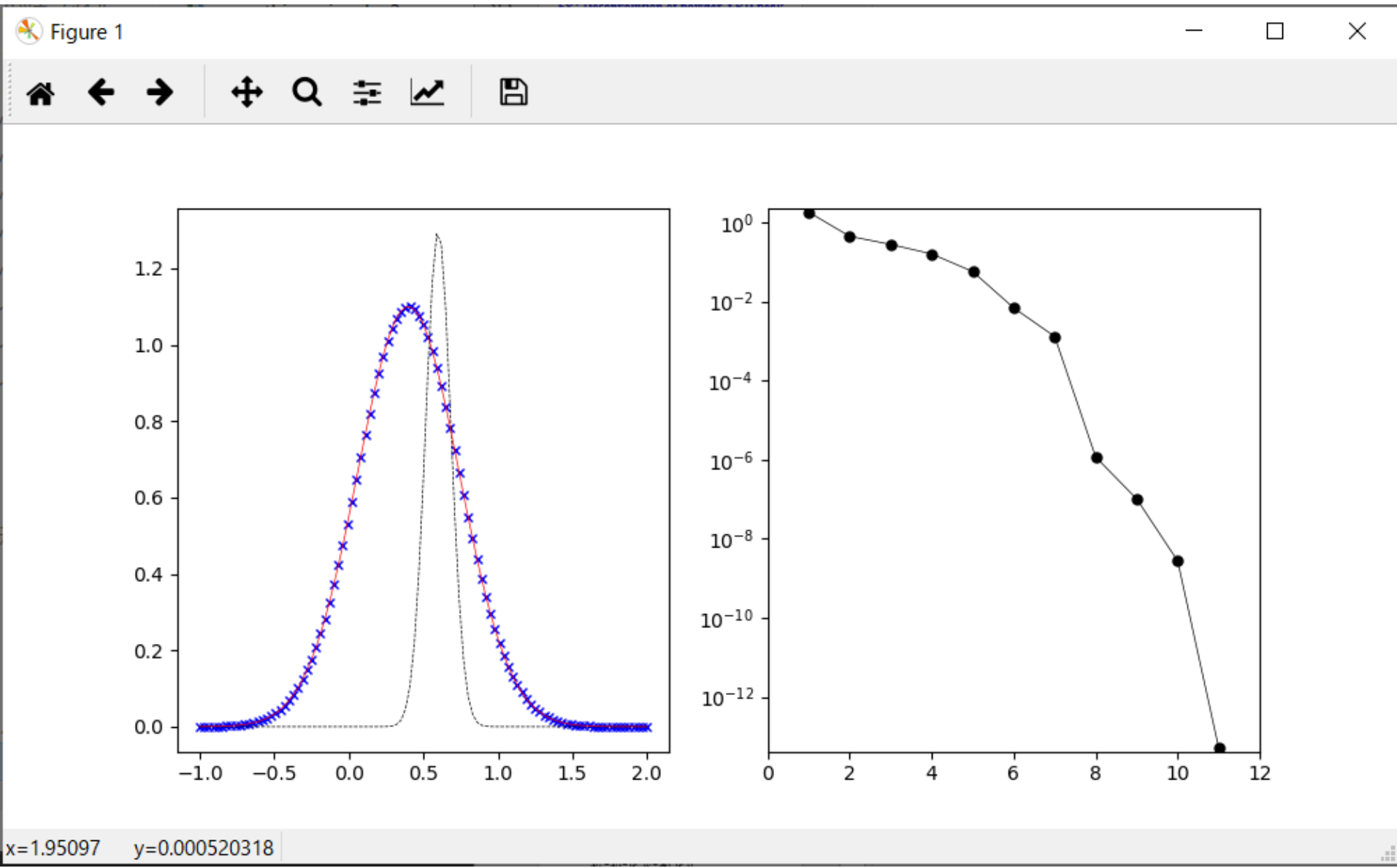
多変数最適化問題例: 粉末XRDのピーク分離

$K\alpha_1$ と $K\alpha_2$ 線が強度 2:1 で出現することを考慮



Ex.: Deconvolution of powder XRD peak

peakfit-scipy-minimize.py



分光解析に使われるプロファイルモデル

Lorentz関数

$$I_L(x) = \frac{1}{1 + [(x - x_0)/w]^2} \quad w: \text{半値半幅}$$

Gauss関数

$$I_G(x) = \frac{1}{a_w w \pi^{1/2}} \exp\left\{-\left[\frac{(x - x_0)}{a_w w}\right]^2\right\}$$

$a_w = (\ln 2)^{-1/2} = 0.832554611$

Voigt関数:

Lotentz型の固有スペクトルに
他の要因のGauss型の広がり重なる
畳み込み積分 (Convolution) であらわされる

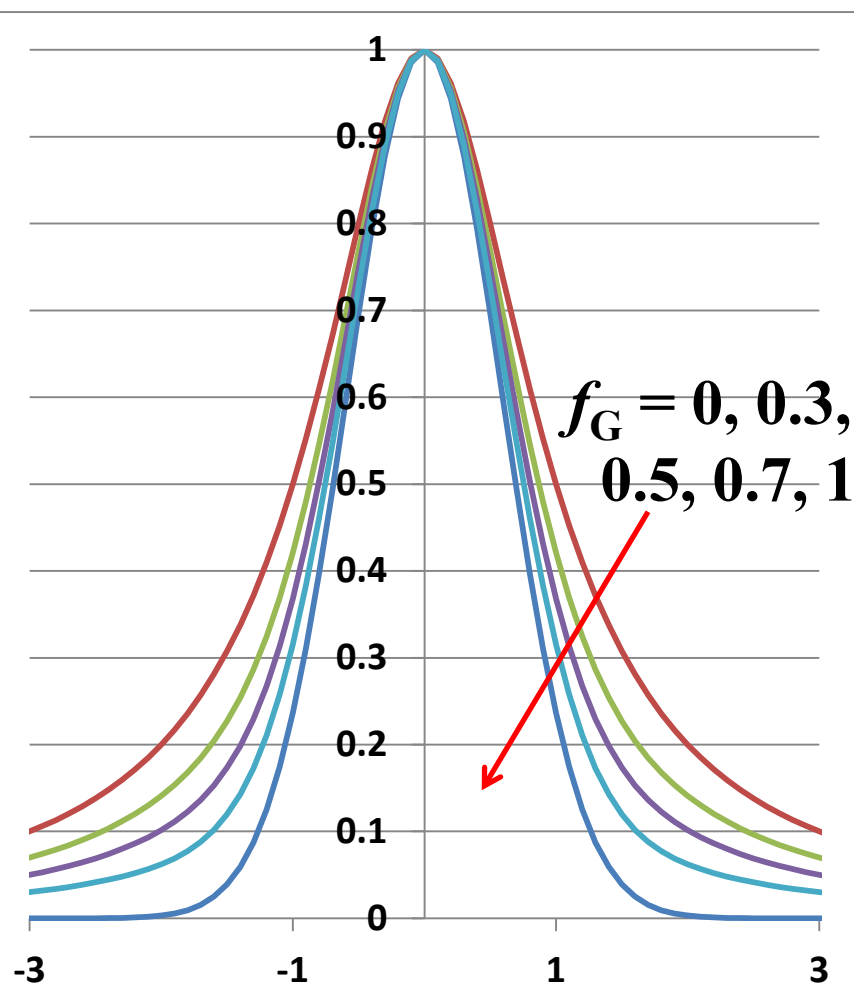
$$I_V(x) = \int_{-\infty}^{\infty} I_G(x') I_L(x - x') dx'$$
$$= \frac{a_V}{\pi} \int_{-\infty}^{\infty} \frac{\exp(-x'^2)}{a_V^2 + (x - x')^2} dx'$$

Pseudo-Voigt関数:

Voigt関数の簡略版

$$I_{PV}(x) = f_G I_G(x) + (1 - f_G) I_L(x)$$

f_G : Gauss関数分率



多変数関数の最適化: Newton-Raphson法

多変数への拡張: 最小化関数 $F(x_l)$ の最小値を求める

$$f_k(x_l) = \partial F(x_l) / \partial x_k = 0$$

繰り返し計算: $f_k(x_l + \delta x_l) \sim f_k(x_l) + \sum_{k'} \delta x_{k'} \partial f_k(x_l) / \partial x_{k'} = 0$

$$x_{l,1} = x_{l,0} - (\partial f_k(x_l) / \partial x_{k'})^{-1} (f_k) = x_{l,0} - (F''_{kk'})^{-1} (F'_k)$$

$$F''_{kk'} = \frac{\partial^2 F(\mathbf{x})}{\partial x_k \partial x_{k'}}$$

Hessian (ヘッセ) 行列

(ヘッセ行列の固有値をヘッシアンと呼ぶ)

Hessian行列は正定値であるとは限らない (極大値、鞍点)

$\Rightarrow F''$ が降下方向を与えるとは限らない

F'' を正定値行列で置き換え、発散を抑える

$$x_{l,1} = x_{l,0} - (F''_{kk'} + \lambda I)^{-1} (F'_k)$$

λ : Dumping Factor

Quasi-Newton method (準Newton法)

矢部博, 工学基礎 最適化とその応用, 数理工学社 (2006)

最小化関数 $F(x_l)$

繰り返し計算: $x_l^{(i+1)} = x_l^{(i)} - (\partial^2 F / \partial x_k \partial x_{k'})^{-1} (\partial F / \partial x_k)$

$F''_{kk'} = \partial^2 F / \partial x_k \partial x_{k'}$: Hessian (ヘッセ) 行列

Newton法の問題:

- (1) Hessian行列は二次行列のため、計算に時間がかかる
- (2) Hessian行列の固有値は負になることもある \Rightarrow 極大値を探索
- (3) 発散しやすい

準Newton法:

- (1,2) Hessian行列の計算を過去の一次微分の数を使って近似
- (3) 探索方向 $-(\partial^2 F / \partial x_k \partial x_{k'})^{-1} (\partial F / \partial x_k)$ に沿って線形探索を行う

Davidon-Fletcher-Powell (DFP) 法

矢部博, 工学基礎 最適化とその応用, 数理工学社 (2006)

$$F(x_l^{(k)} + \alpha d) = F(x_l^{(k)}) + \nabla F(x_l^{(k)})^T d + \frac{1}{2} d^T B^{(k)} d \sim 0$$

$B^{(k)} d = -\nabla F(x_l^{(k)})$ で探索方向 d を決める

DFP法: 準Newton法のはじまり

$$s^{(k)} = x^{(k+1)} - x^{(k)}, y^{(k)} = \nabla F(x_l^{(k+1)}) - \nabla F(x_l^{(k)})$$

$$\begin{aligned} B^{(k+1)} &= B^{(k)} + \frac{(y^{(k)} - B^{(k)} s^{(k)}) \cdot y^{(k)T} + y^{(k)} \cdot (y^{(k)} - B^{(k)} s^{(k)})^T}{s^{(k)T} \cdot y^{(k)}} \\ &\quad - \frac{s^{(k)T} \cdot (y^{(k)} - B^{(k)} s^{(k)})}{(s^{(k)T} \cdot y^{(k)})^2} y^{(k)} \cdot y^{(k)T} \\ &= B^{(k)} - \frac{B^{(k)} s^{(k)} \cdot y^{(k)T} + y^{(k)} \cdot (B^{(k)} s^{(k)})^T}{s^{(k)T} \cdot y^{(k)}} + \left(\mathbf{1} + \frac{s^{(k)T} B^{(k)} s^{(k)}}{s^{(k)T} \cdot y^{(k)}} \right) \end{aligned}$$

Broyden-Fletcher-Goldfarb-Shanno (BFGS) 法

矢部博, 工学基礎 最適化とその応用, 数理工学社 (2006)

BFGS法: 準Newton法でも最も有効と認められている

$$s^{(k)} = x^{(k+1)} - x^{(k)}, y^{(k)} = \nabla F(x_l^{(k+1)}) - \nabla F(x_l^{(k)})$$

$$B^{(k+1)} = B^{(k)} - \frac{B^{(k)}s^{(k)}(B^{(k)}s^{(k)})^T}{s^{(k)T}B^{(k)}s^{(k)}} + \frac{y^{(k)}y^{(k)T}}{s^{(k)T}y^{(k)}}$$

アルゴリズム:

STEP 0: 初期値 $x^{(0)}$ 、初期行列 $B^{(0)}$ (通常は単位行列) を与える。

STEP 1: $B^{(k)}d = -\nabla F(x_l^{(k)})$ から探索方向 $d^{(k)}$ を求める

STEP 2: 直線探索によって、 $d^{(k)}$ 方向のステップ幅 $\alpha^{(k)}$ を決める

STEP 3: $x^{(k+1)} = x^{(k)} + \alpha^{(k)}d^{(k)}$ とする

STEP 4: 収束したら計算終了。

収束条件が満たされていないならばSTEP 5へ

STEP 5: $s^{(k)}, y^{(k)}$ を計算し、 $B^{(k+1)}$ を求め、STEP 1へ

Line search (直線探索法): Armijo条件

矢部博, 工学基礎 最適化とその応用, 数理工学社 (2006)

(i) Armijo (アルミホ) 条件

$0 < \xi < 1$ であるような定数 ξ に対して,

$$f(\mathbf{x}_k + \alpha \mathbf{d}_k) \leq f(\mathbf{x}_k) + \xi \alpha \nabla f(\mathbf{x}_k)^T \mathbf{d}_k \quad (4.6)$$

を満たす $\alpha > 0$ を選ぶ.

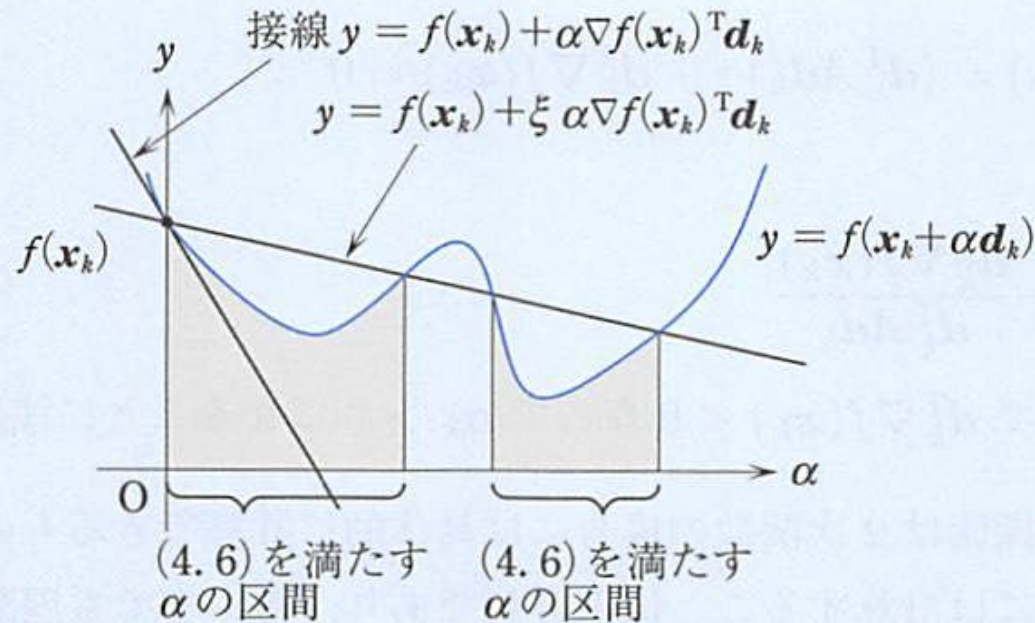


図 4.7 Armijo 条件 (4.6) を満たすステップ幅

Line search (直線探索法): Wolfe条件

矢部博, 工学基礎 最適化とその応用, 数理工学社 (2006)

(ii) Wolfe(ウルフ) 条件

$0 < \xi_1 < \xi_2 < 1$ であるような定数 ξ_1, ξ_2 に対して,

$$f(\mathbf{x}_k + \alpha \mathbf{d}_k) \leq f(\mathbf{x}_k) + \xi_1 \alpha \nabla f(\mathbf{x}_k)^\top \mathbf{d}_k \quad (4.7)$$

$$\xi_2 \nabla f(\mathbf{x}_k)^\top \mathbf{d}_k \leq \nabla f(\mathbf{x}_k + \alpha \mathbf{d}_k)^\top \mathbf{d}_k \quad (4.8)$$

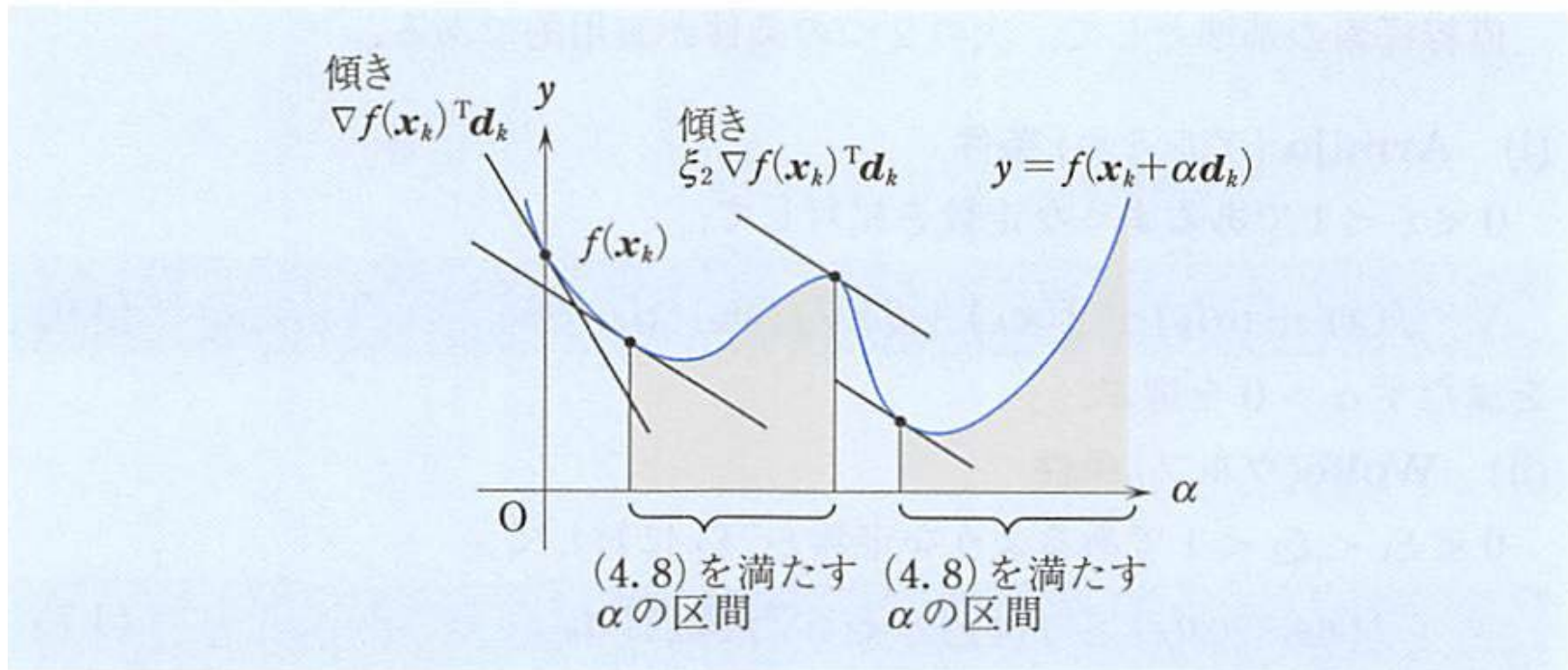


図 4.8 Wolfe 条件 (4.8) を満たすステップ幅

最急降下法 (Steepest Descend) 法

矢部博, 工学基礎 最適化とその応用, 数理工学社 (2006)

残差関数の傾きのみから最小値を探索する。勾配法としては最も単純。

- SD法: ベクトル $-(df/dx_i)dx_i$ 方向へ進めば S^2 は小さくなる

$$x_i^{(i+1)} = x_i^{(i)} - \alpha(df/dx_i)$$

α は適当に決める。

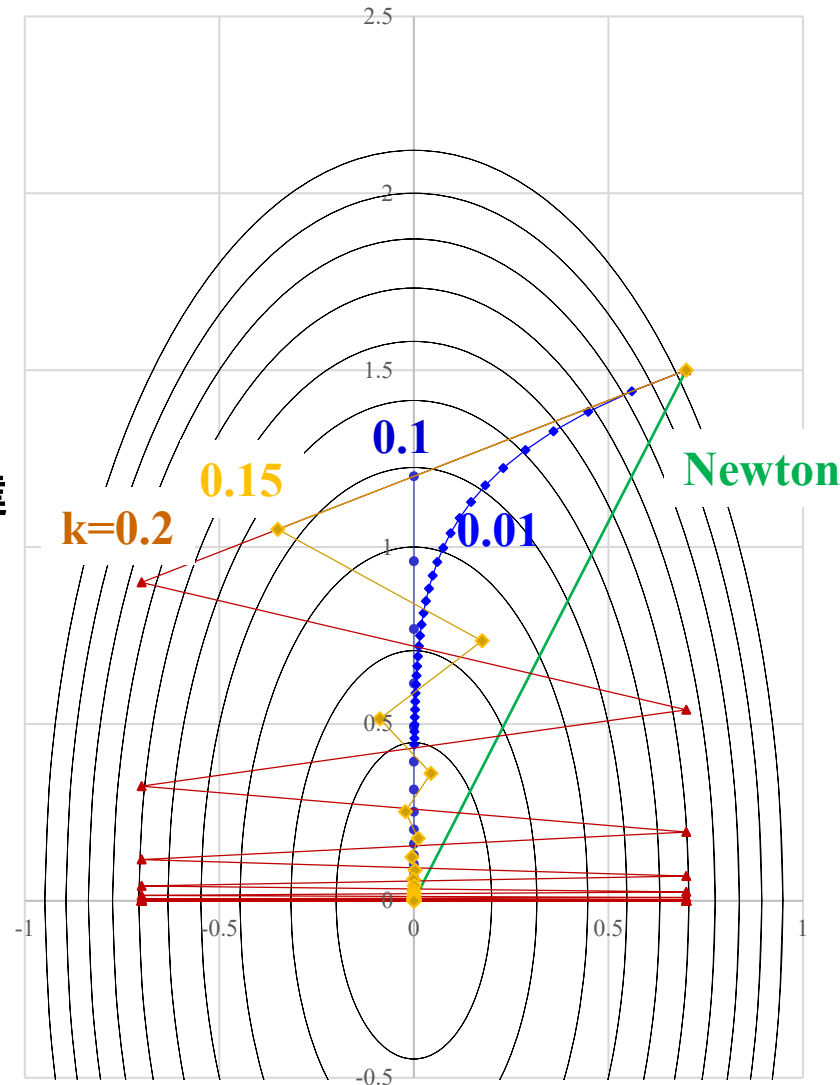
右の例:

$S^2 = f(x_i) = 5x_1^2 + x_2^2$, 初期値 $x_1 = 0.7, x_2 = 1.5$

- Newton法:
楕円問題の場合は一度目の計算で最適値に到達

- SD法:
 $\alpha = 0.3$: 発散 (グラフにプロットしていない)
0.2, 0.15: 振動しながら収束
0.1: 最初の1度目で x_1 の最適値に到達
0.01: 振動せず、緩やかに収束

「 S^2 が大きく非対称な場合、最急勾配方向は
最小値方向とは大きく異なることがある」
=> 共役勾配法

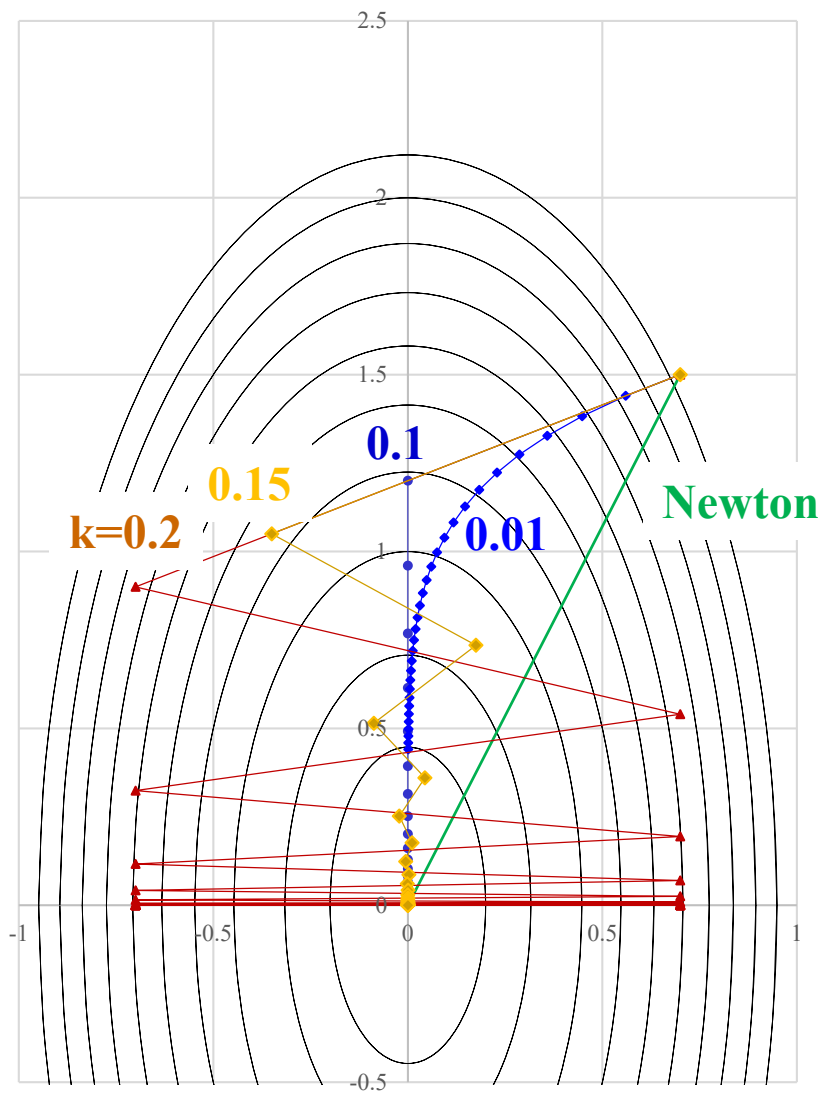


最急降下法 (Steepest Descend) 法

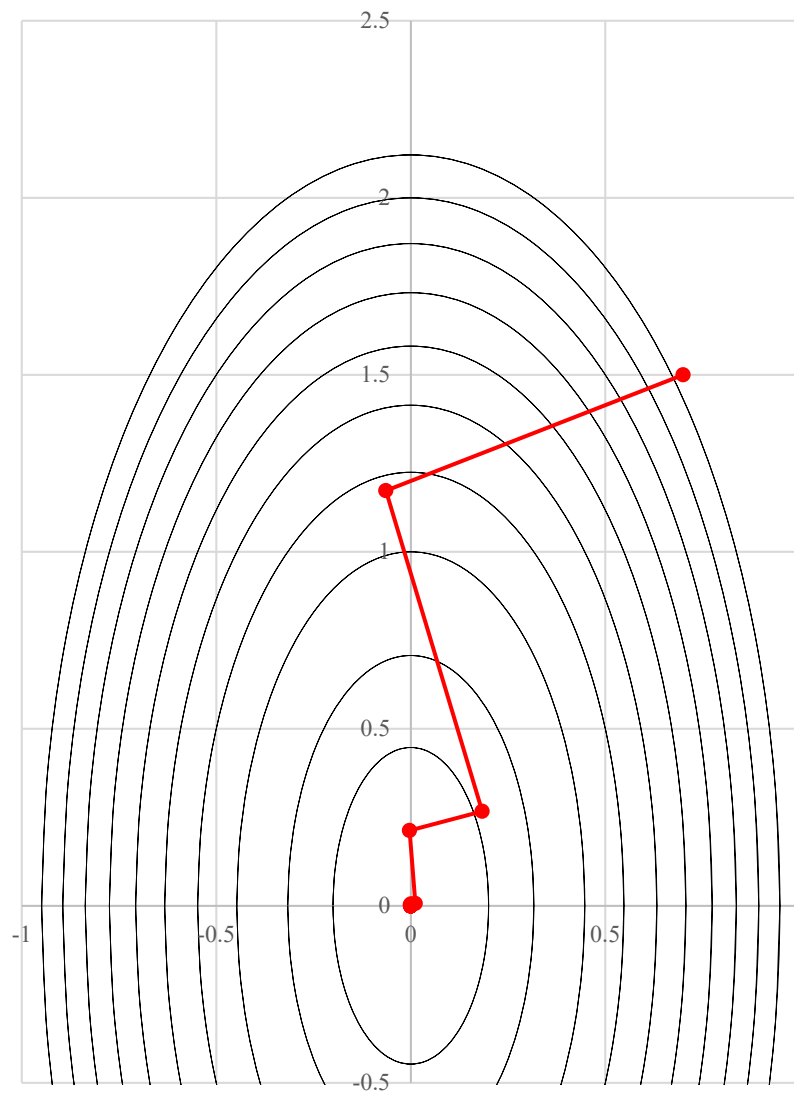
矢部博, 工学基礎 最適化とその応用, 数理工学社 (2006)

効率的な方法: 各ステップの α を直接探索法で決定する

直接探索を行わない場合



直接探索を行う場合



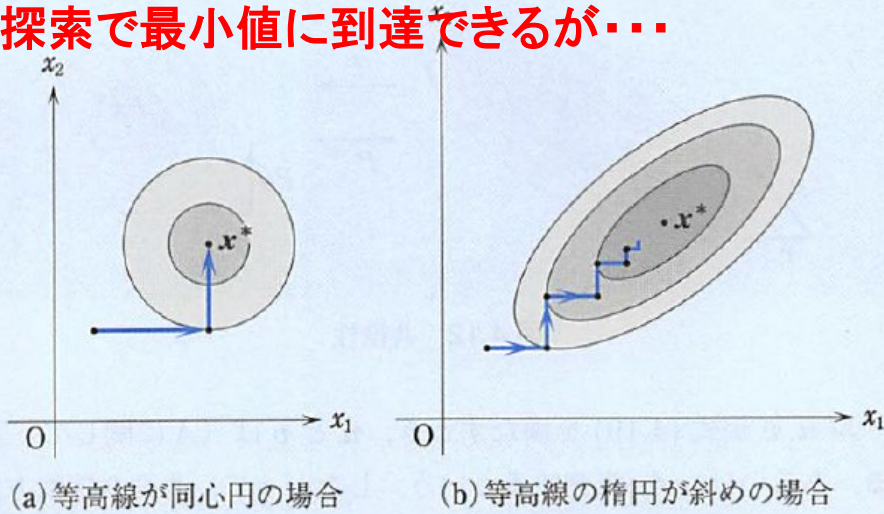
共役勾配 (Conjugate Gradient) 法

矢部博, 工学基礎 最適化とその応用, 数理工学社 (2006)

行列 A に対してベクトル u, v が $u^T A v = 0$ であるとき、 u と v は互いに共役の関係にあるという

- 共役な探索方向に沿って正確な直線探索を実行していけば、有限回の反復で2次関数の最小解に到達することが期待される

等高線が円の場合、変数個数回の探索で最小値に到達できるが...



- 初期値 x_0 を与える
- 初期探索方向 d を再急降下方向にとる

$$d = -\nabla f$$

- 直接探索法に従って α_k を決め、

$$x_{k+1} = x_k + \alpha_k d_k$$

を計算する

- 探索方向を

$$d_k = d_{k-1} - \frac{d_{k-1} \cdot \nabla f(x_k)}{d_{k-1} \cdot d_{k-1}} \nabla f(x_k)$$

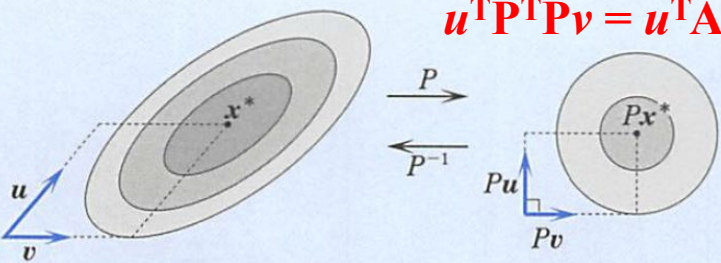
に更新する

- 3,4を繰り返して収束させる

4.では、 d_k は d_i ($i = 1, \dots, k-1$) のすべてに直交するため、このループは有限回しか実行できない => 時々 d_k をリセット

共役なベクトルと楕円-円変換

$$u^T P^T P v = u^T A v = 0$$



Marquart法

N 個の変数 x_i をもつ m 個の関数 $f_j(x_i)$ の自乗和

$$F(x_i) = \sum_{j=1}^m f_j(x_i)^2$$

の最小値(最大値)を求める

$$f_j(x_i + \delta x_i) \sim f_j(x_i) + \left(\frac{\partial f_j}{\partial x_k} \right) (\delta x_i) = f_j(x_i) + \mathbf{A} \delta x_i \quad A_{jk} = \frac{\partial f_j}{\partial x_k}$$

と近似すると、

$$F(x_i + \delta x_i) \sim F(x_i)^2 + 2 \sum_{j,k} f_j A_{jk} \delta x_k + \sum_{j,k,k'} A_{jk} A_{ik'} \delta x_k \delta x_{k'}$$
$$\frac{\partial F(x_i)}{\partial \delta x_k} \sim 2 \sum_j (f_j A_{jk} + A_{jk} A_{jk} \delta x_j) = 0$$

$$\delta x = -(\mathbf{A}^t \mathbf{A})^{-1} \mathbf{A}^t (f_j) \quad \text{Gauss-Newton法}$$

Levenberg-Marquart法

$$\delta x = -(\mathbf{A}^t \mathbf{A} + \lambda I)^{-1} \mathbf{A}^t (f_j) \quad \lambda \text{の最適値がよくわからない}$$

$$\delta x = -(\mathbf{A}^t \mathbf{A} + \lambda \text{diag}(\mathbf{A}^t \mathbf{A}))^{-1} \mathbf{A}^t (f_j) \quad \mathbf{A} \text{行列の対角和に比例させる}$$

直線探索法

単体 (Simplex) 法 (Amoeba法)

南茂夫 編著、科学計測のための波形データ処理、CQ出版 (1986年)

単体 (Simplex): n 次元空間で $(n+1)$ 個の頂点を作る図形

$F(x_i)$ の最小値を求める

1. $(n+1)$ 個の初期値で頂点 $F(x_i)$ ($i = 1, 2, \dots, n+1$) を

$F(x_i) > F(x_{i'})$ ($i < i'$) となるように並べ替える

2. 最大値を取る頂点 x_i 以外が作る重心を $x_G = \sum_{i=2} x_i / n$ とする

3. 直線 $x_1 - x_G$ 上で新しい点を次の順に求めて F を計算する

(i) 鏡映 : $x_R = x_1 + \alpha(x_G - x_1)$

(たとえば $\alpha = 2$)

(ii) 拡大 : $x_E = x_1 + \beta(x_G - x_1)$

(たとえば $\beta > 2$)

(iii) 縮小鏡映 : $x_{CR} = x_1 + \gamma(x_G - x_1)$

(たとえば $1.0 < \gamma < 2.0$)

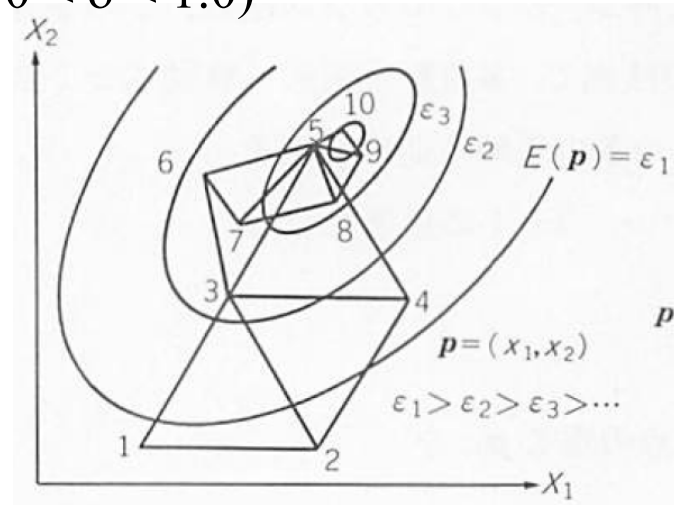
(iv) 縮小 : $x_{CW} = x_1 + \delta(x_G - x_1)$

(たとえば $0 < \delta < 1.0$)

4. (i)~(iv)のうちで最初に $F(x) < F(x_1)$ を満たす点を

x_1 と交換する。

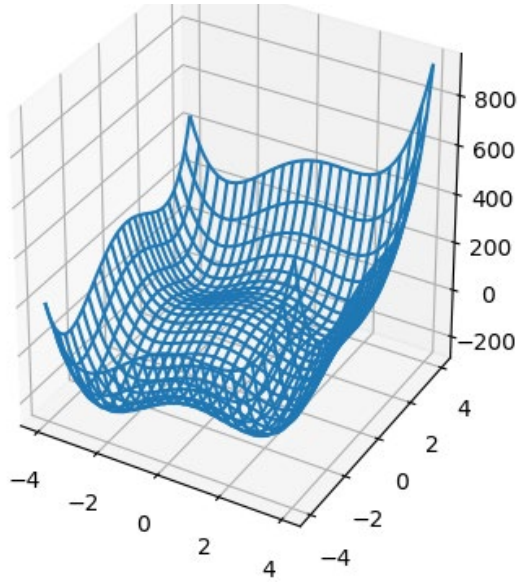
この操作を繰り返す



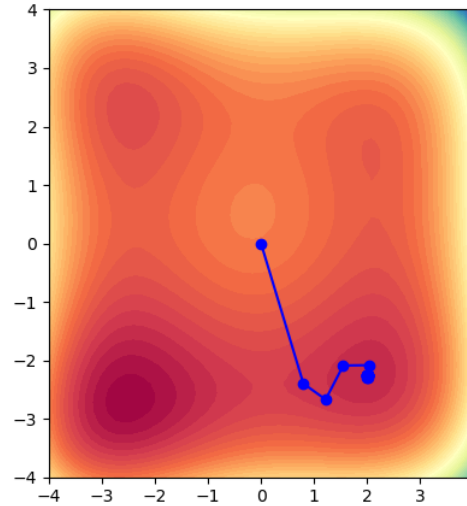
Comparison

<http://conf.msl.titech.ac.jp/Lecture/python/index-numericalanalysis.html>

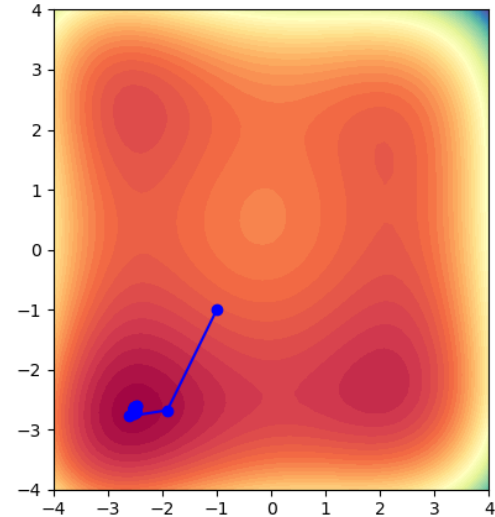
optimize-sd-cg2d-linesearch.py, optimize-newton-raphson2d.py



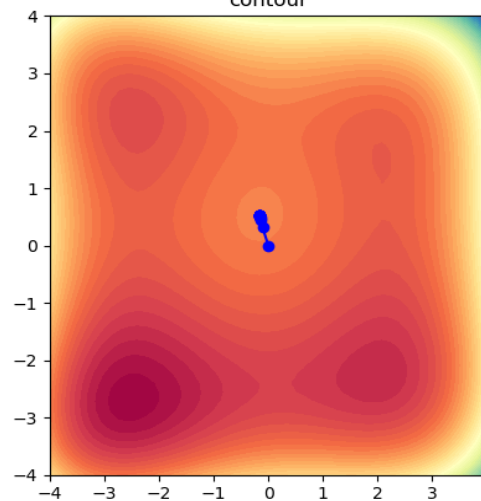
From (0.0 0.0) cg simple



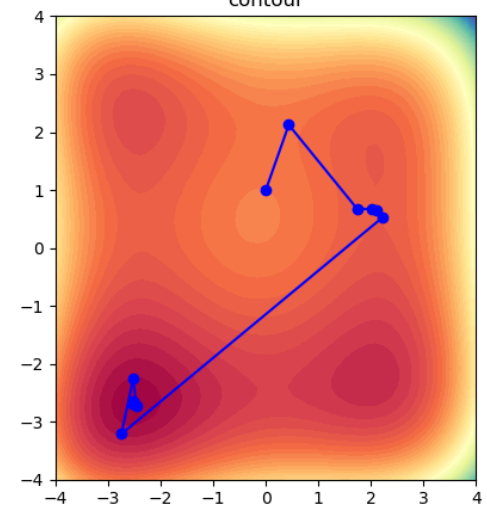
From (-1.0 -1.0) cg simple



From (0.0 0.0) Newton

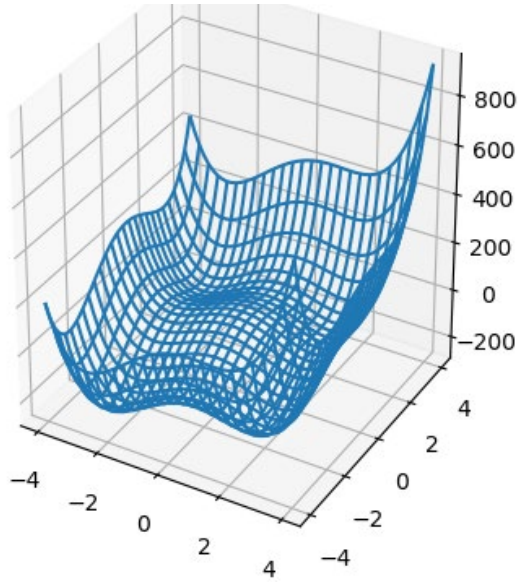


From (0.0 1.0) SD armijo

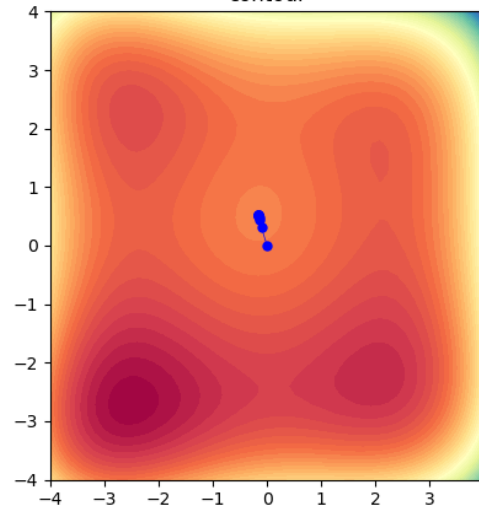


Comparison

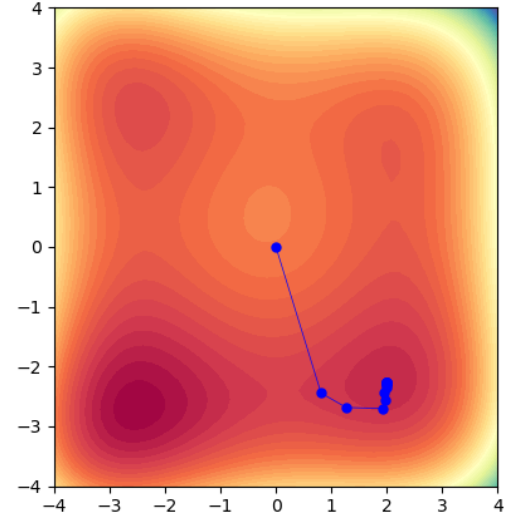
Programs\python\optimize.py in Programs.zip



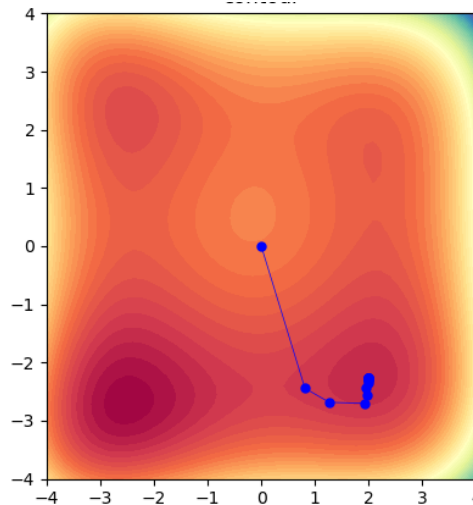
From (0.0 0.0) Newton



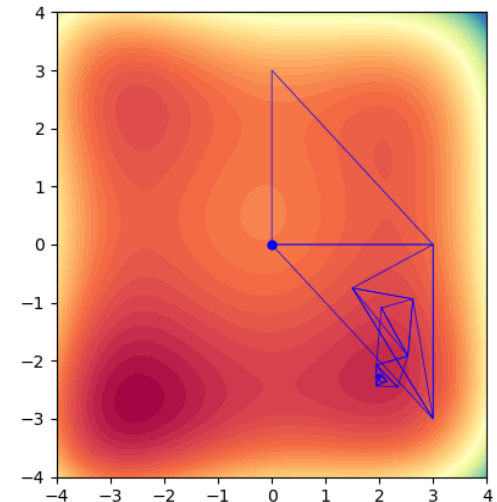
From (-1.0 -1.0) DFP golden



From (0.0 0.0) BFGS golden



From (0.0 1.0) Simplex



Main algorithm:

Newton, DFP, BFGS

SD, CG

Simplex

Line search:

Golden, Armijo

非線形最小化問題の解法

$F(x)$ の最小値(最大値)を求める

勾配法

- **Newton-Raphson法:**
二次微分行列を使って最小値を探索
- **準Newton法**
二次微分行列を一次微分ベクトルから近似して最小値を探索
- **最急降下法 (Steepest Descent):**
一次微分から傾きの方向のみで最小値を探索
- **共役勾配 (Conjugate Gradient) 法:**
変数の変位ベクトルの共役方向へ最小値を探索
- **Marquart法**
 $f_j(x_i)$ の一次微分の行列を使って最小値を探索

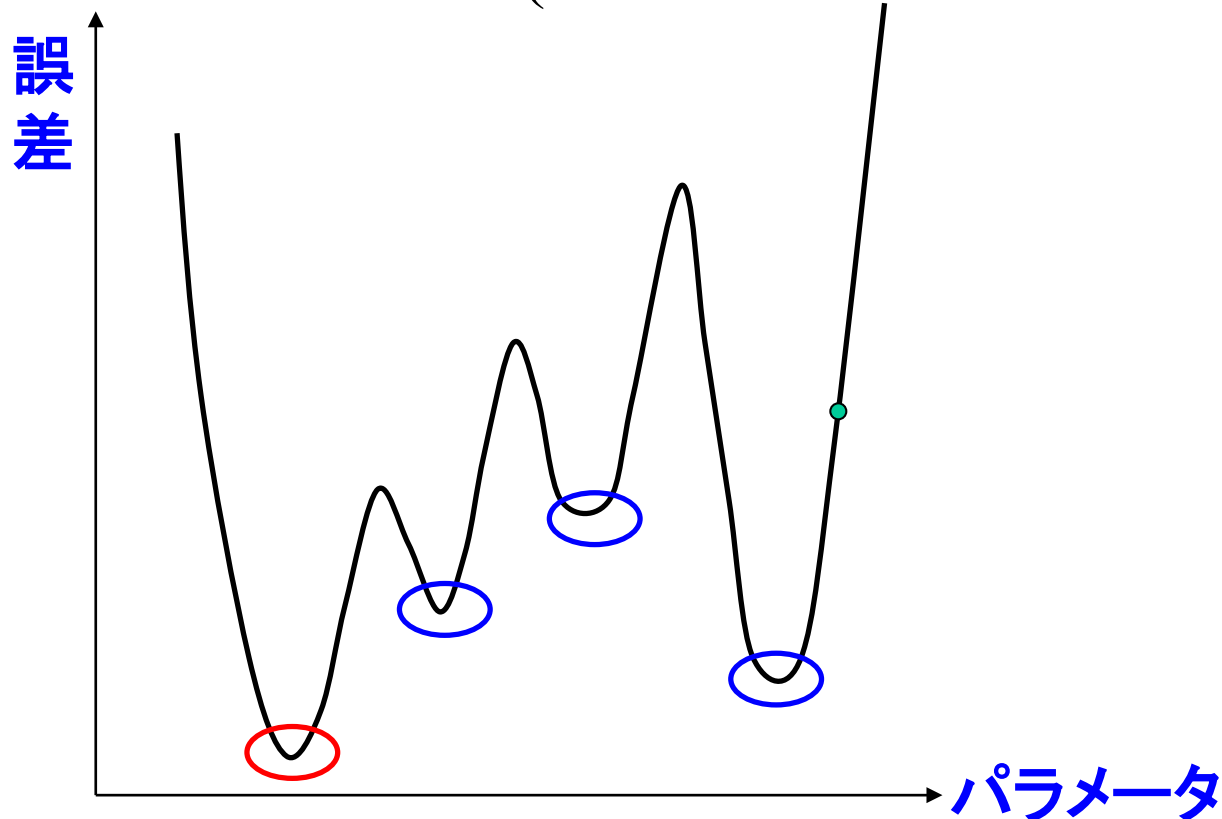
直接探索法

- **単体 (Simplex) 法 (Amoeba法)**
一定のルールに従い、試行錯誤で最小値を探索

非線形 (多値) 方程式の注意

- ・ 解が複数ある場合も
- ・ ほとんどの場合、1度の計算で最適解を求めることは無理
 - ・ 収束したことを確認する
 - ・ 大域最小値を求める

⇔ 局所極小値 (local minimumに落ち込む)



非線形最適化アルゴリズムの傾向

	A	B
収束速度	×	○
収束安定性	○	×
安定収束範囲	○	×
使い方	第一段階	第二段階

A: 単体 (Simplex) 法

A,B: 共役勾配法 (Conjugate Gradient: CG)

B: 最急降下法 (Steepest Descent: SD)

B: Newton-Raphson法 ・準Newton法

▪ Davidson-Fletcher-Powell (DFP)

▪ Broyden-Fletcher-Goldfarb-Shanno (BFGS)